

UNIVERSITE LOUIS PASTEUR DE STRASBOURG
INSTITUT DE PARASITOLOGIE ET DE PATHOLOGIE TROPICALE

PARASITOLOGIE – MYCOLOGIE :
ICONOGRAPHIE

Ermanno CANDOLFI
Denis FILISETTI
Valérie LETSCHER – BRU
Odile VILLARD

DCEM1 / 2006 – 2007

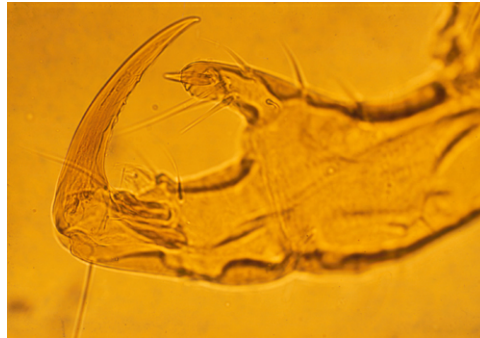
SOMMAIRE

Entomologie	3
Paludisme	5
Toxoplasmose.....	8
Amibiase-giardiae.....	14
Anguillulose-oxuyrose	16
Candidoses	17
Pneumocystose	27

ENTOMOLOGIE



1. Femelle adulte de pou



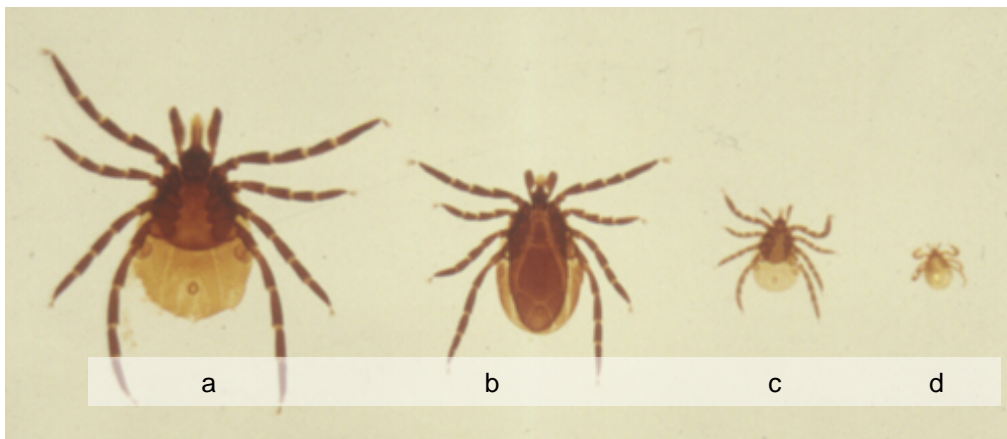
2. Détail d'une griffe de pou



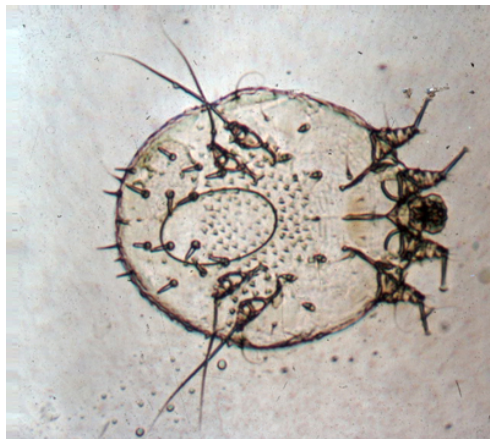
3. Lentès (œufs) de pou fixées au cheveu



4. Adulte de *Phthirus pubis* (morpion)

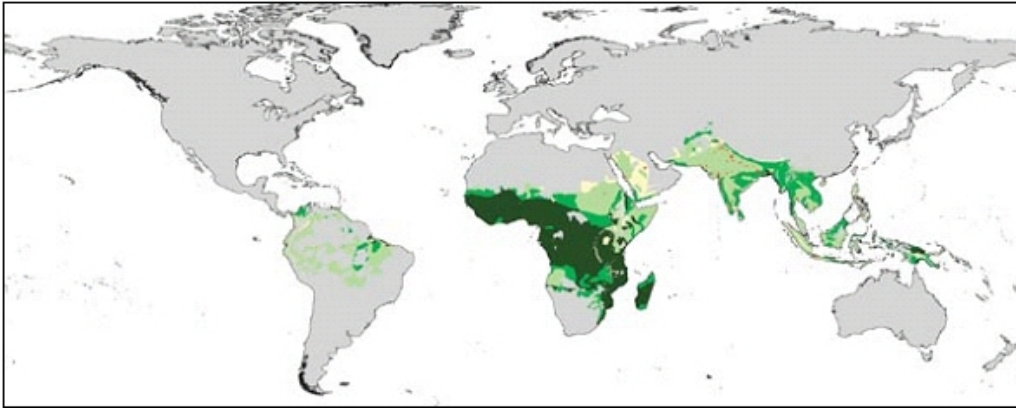


4. Adulte femelle (a), mâle (b), nymphe (c) et larve (d) d'*Ixodes ricinus* (tique)

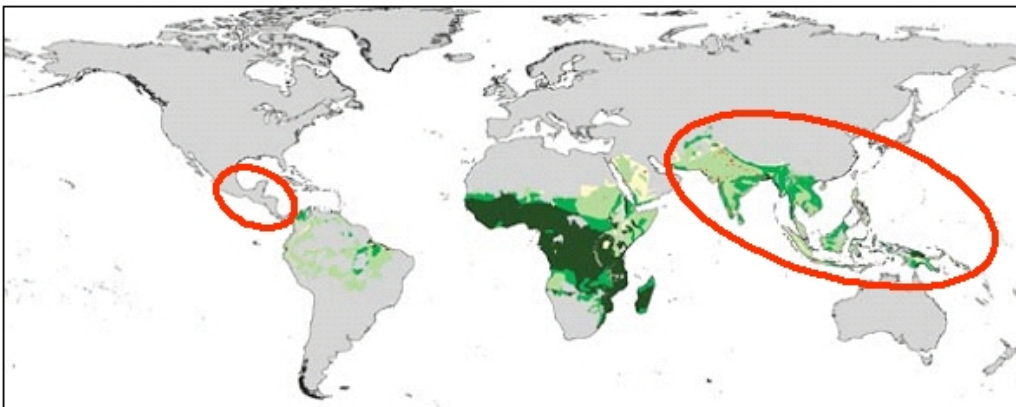


5. Femelle adulte de *Sarcoptes scabiei* (agent de la gale)

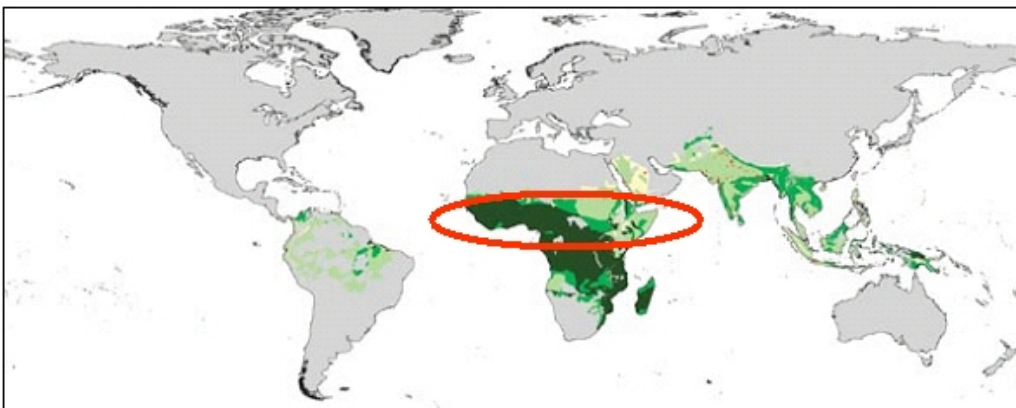
PALUDISME



1. Répartition géographique de *Plasmodium falciparum*



2. Répartition géographique de *Plasmodium vivax* et *malariae*

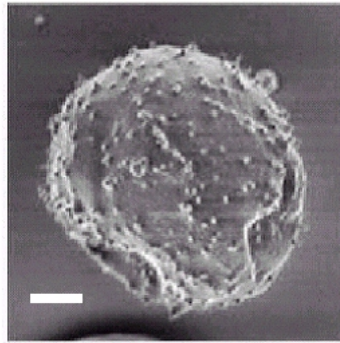


3. Répartition géographique de *Plasmodium ovale*

Hématie normale



Hématie infectée



Hématies sphériques
protrusions (adhésion)

4. Physiopathologie de l'infection à *Plasmodium falciparum*

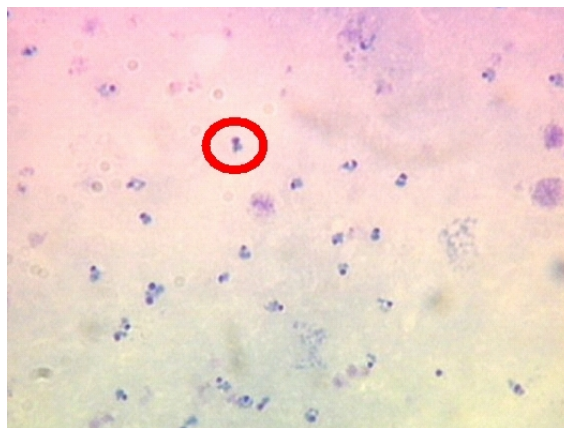
Frottis sanguin



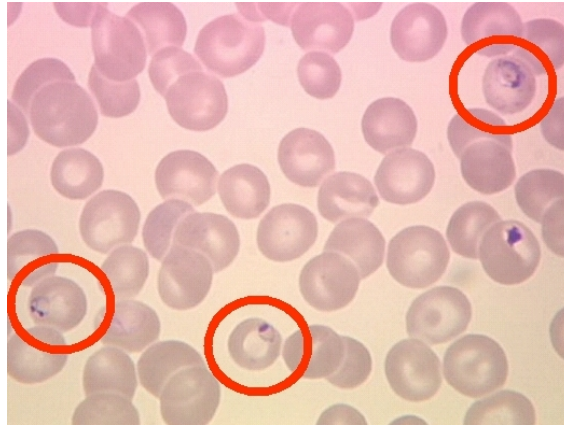
Goutte épaisse



5. Aspect macroscopique du frottis sanguin et de la goutte épaisse

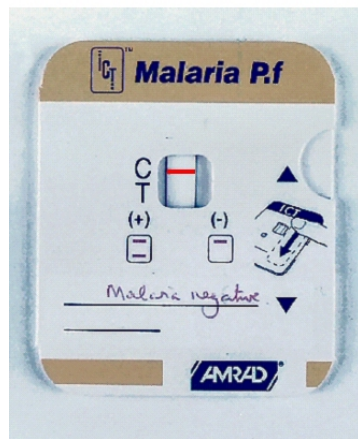


6. Goutte épaisse : présence de *Plasmodium falciparum*

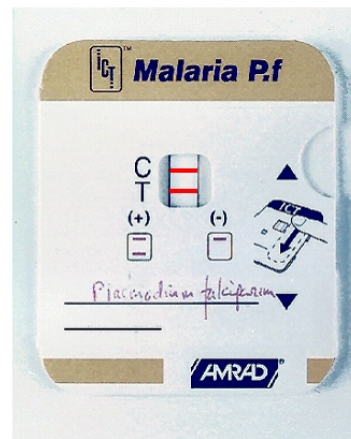


7. Frottis sanguin : présence de trophozoïtes de *Plasmodium falciparum* (parasitémie 6 %)

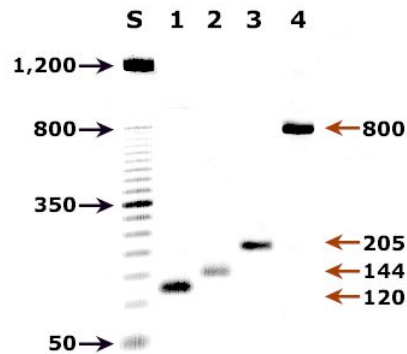
Absence d'antigène
de *P. falciparum*



Présence d'antigène
de *P. falciparum*



8. Recherche d'antigènes circulants de *Plasmodium*



9. Recherche de paludisme par PCR
(1) *P. vivax*, (2) *P. malariae*, (3) *P. falciparum* et (4) *P. ovale*.

TOXOPLASMOSE

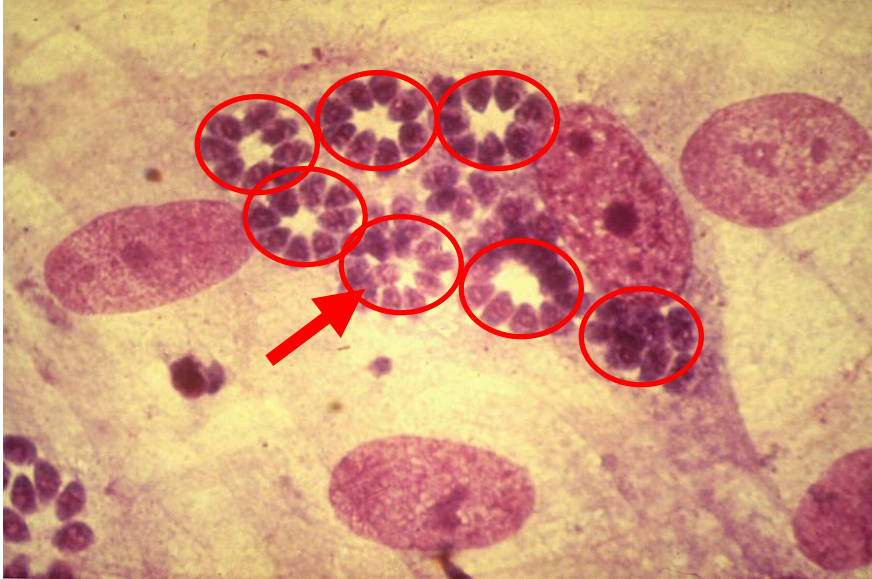


Figure 1. Tachyzoïtes de *Toxoplasma gondii* dans une vacuole parasitophore intracellulaire. Noter les nombreuses vacuoles parasitophores hébergeant les tachyzoïtes.



Figure 2. Oocyste de *Toxoplasma gondii* émis dans les selles des félins et contenant des sporozoïtes.

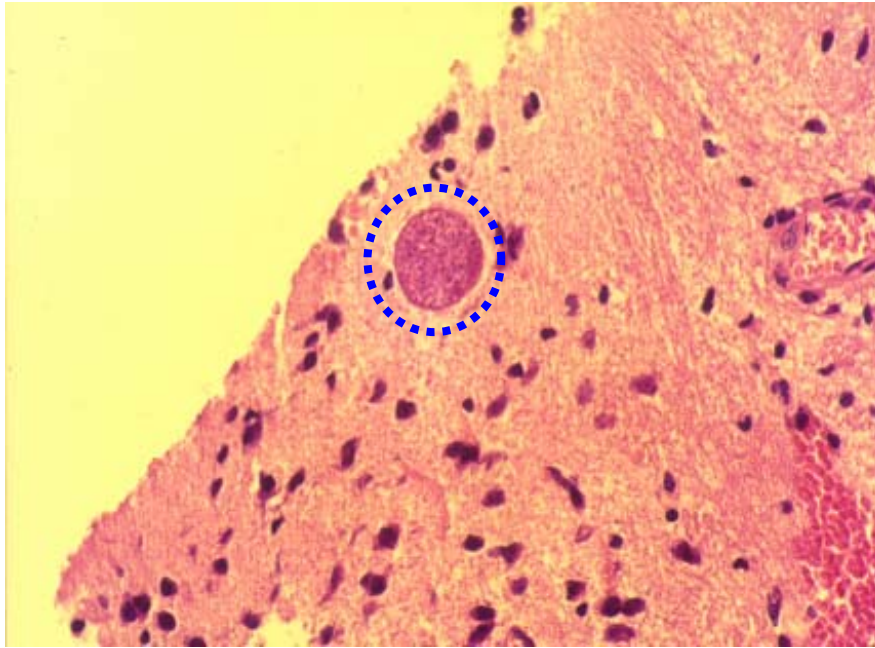


Figure 3. Bradyzoïtes de *Toxoplasma gondii* dans un kyste intracellulaire cérébral. Remarquer l'absence de réaction inflammatoire (il y a peu de cellules) autour des parasites.

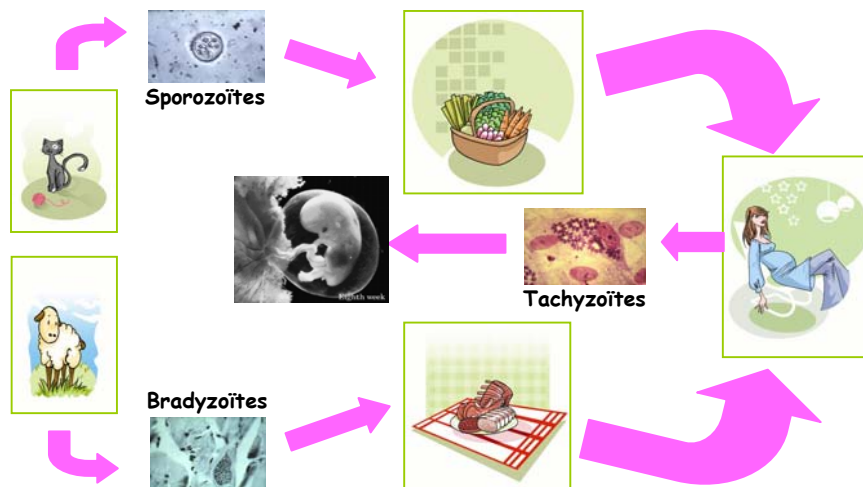


Figure 4. Modes de contamination alimentaire de la toxoplasmose chez la femme enceinte.

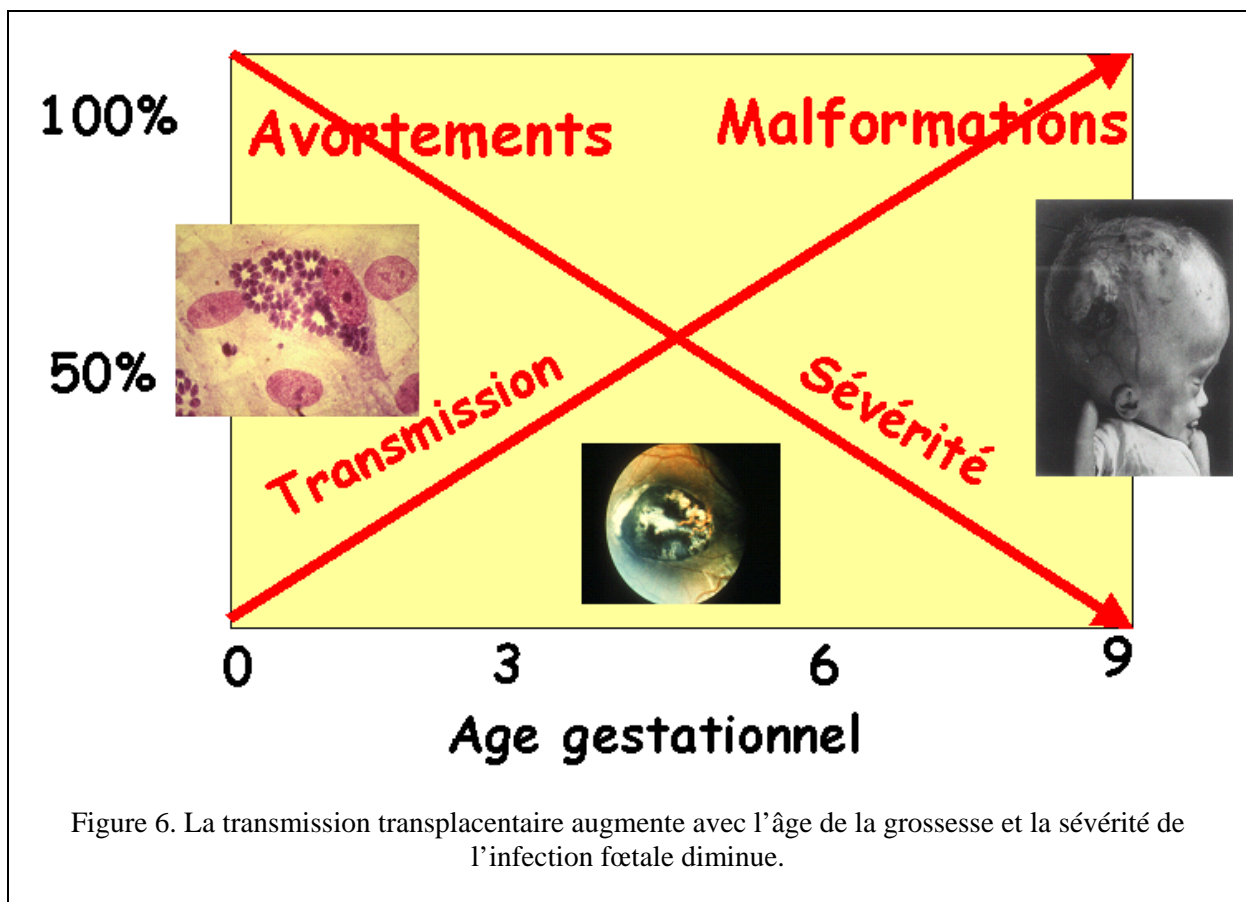
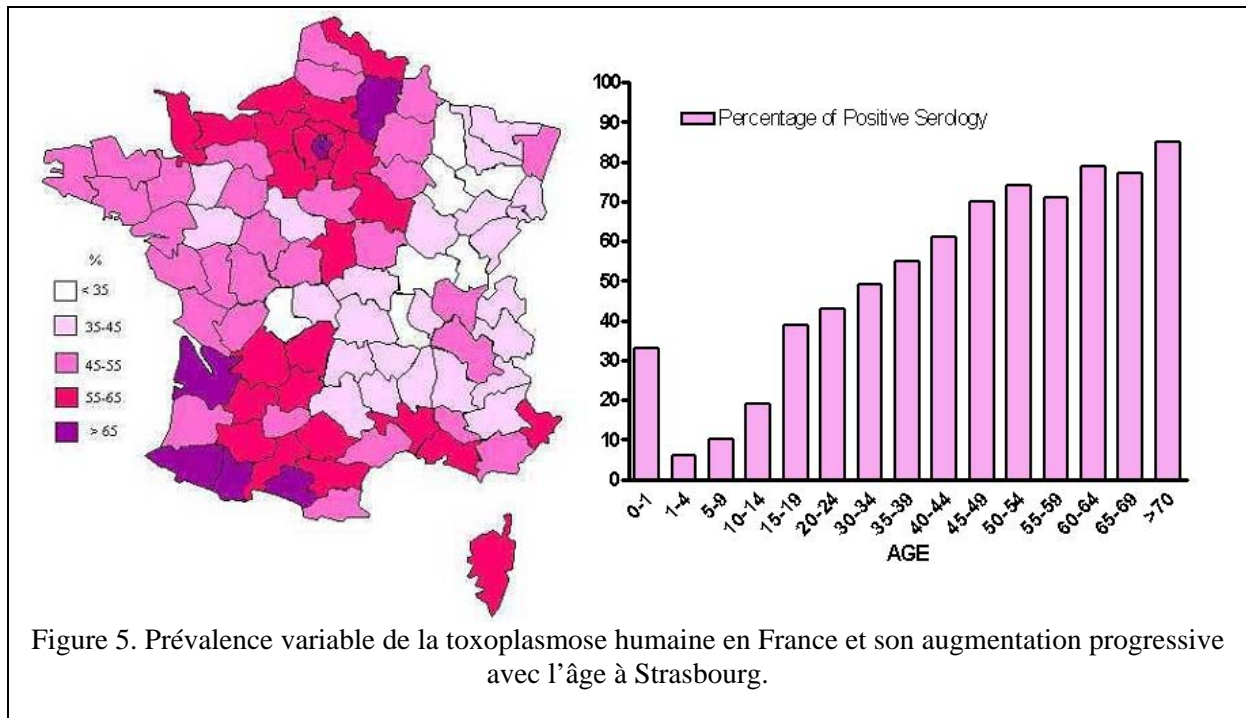




Figure 7. Forme retardée de la toxoplasmose congénitale avec troubles neurologiques (hydrocéphalie) et ascite.

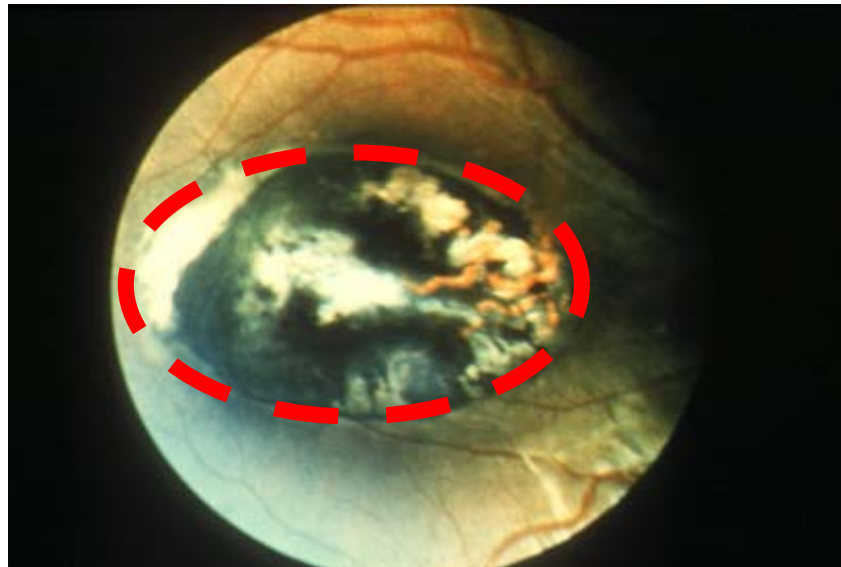


Figure 8. Chorioretinite observée au fond d'œil au cours d'une toxoplasmose oculaire. Remarquer l'hémorragie (rouge) et l'œdème (blanc).



Figure 9. Toxoplasmose cérébrale chez un sujet infecté par le VIH. Le scanner montre de nombreuses lésions focales de taille variable.

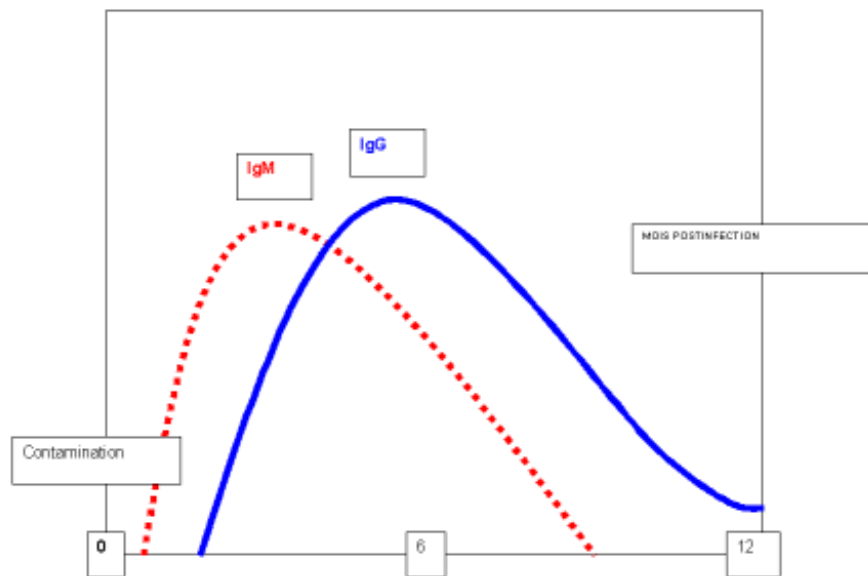


Figure 10. Cinétique de production des anticorps IgG et IgM anti-*Toxoplasma* au cours d'une toxoplasmose aiguë.



Figure 11. Calcifications crâniennes mise en évidence par radiographie au cours d'une toxoplasmose congénitale.

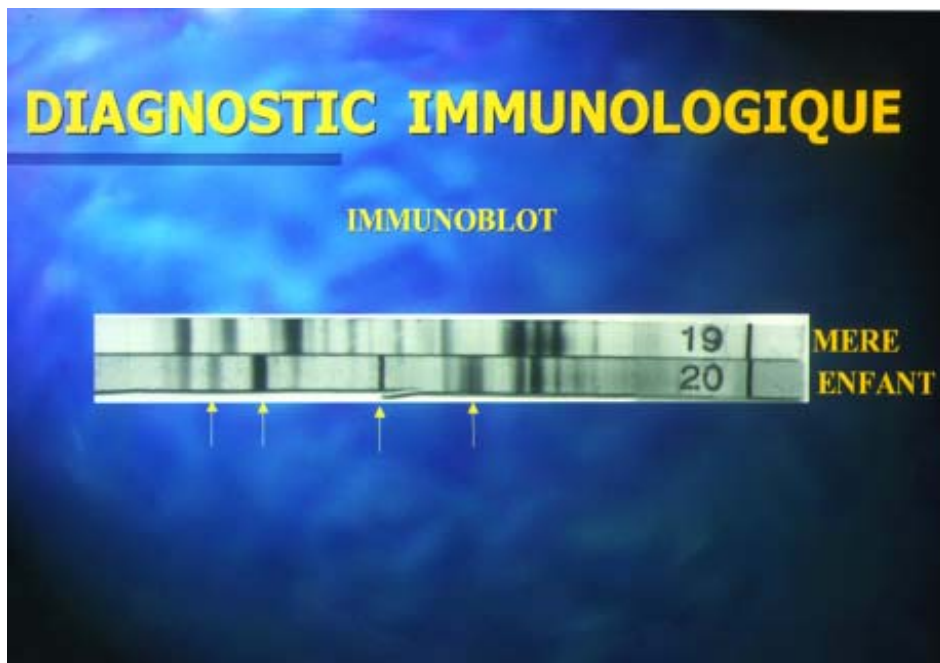
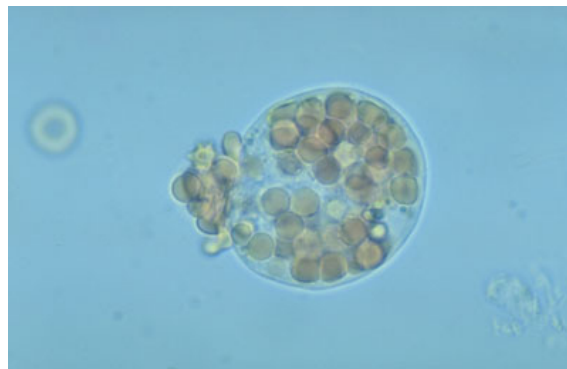


Figure 12. Détection d'anticorps néonataux par comparaison des profils de reconnaissance immunologique de la mère et de l'enfant par Immunoblot. Les flèches indiquent la présence d'antigènes toxoplasmiques exclusivement reconnus par les anticorps de l'enfant et pas par ceux de la mère.

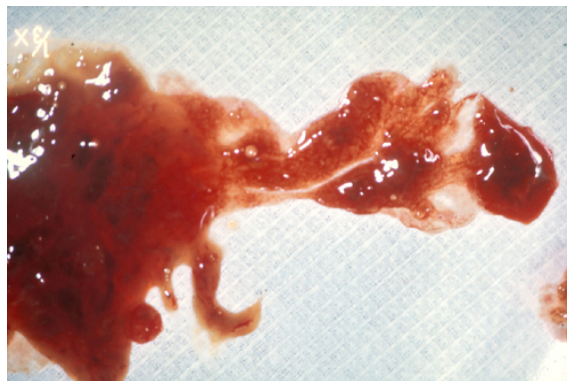
AMIBIASE-GIARDIASE



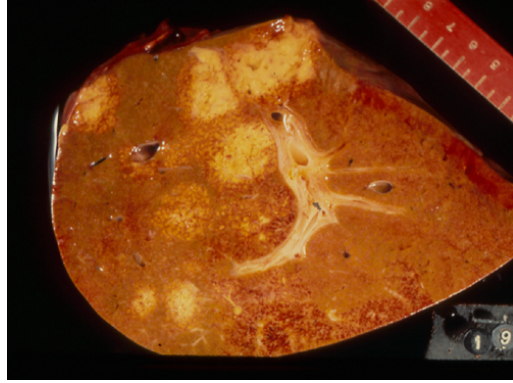
1. Kyste d'*Entamoeba histolytica*
(forme de résistance et de dissémination)



2. Forme végétative d'*Entamoeba histolytica histolytica*
(forme hématophage contenant de nombreux globules rouges)



3. Emissions afécales constituée de mucus sanglant « crachat rectal »
de la dysentérie amibienne



4. Abscès amibiens du foie

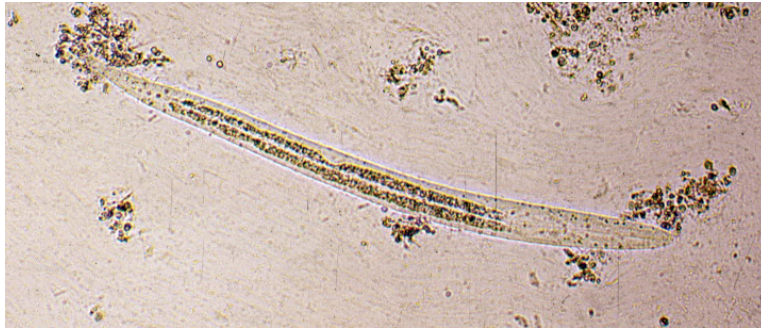


5. Forme végétative de *Giardia lamblia*



6. Kystes de *Giardia lamblia*

ANGUILLULOSE-OXYUROSE



1. Larve rhabditoïde d'anguillule trouvée dans les selles

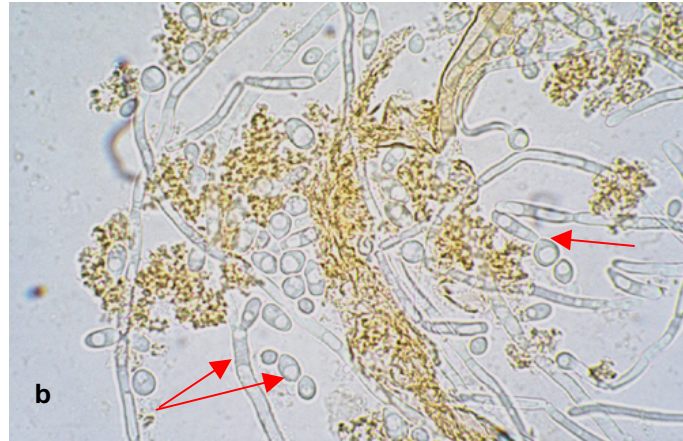
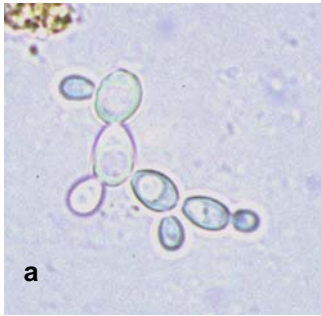


2. Femelle adulte d'oxyure



3. Scotch test prélevé à la marge anale
présence de nombreux œufs

CANDIDOSES



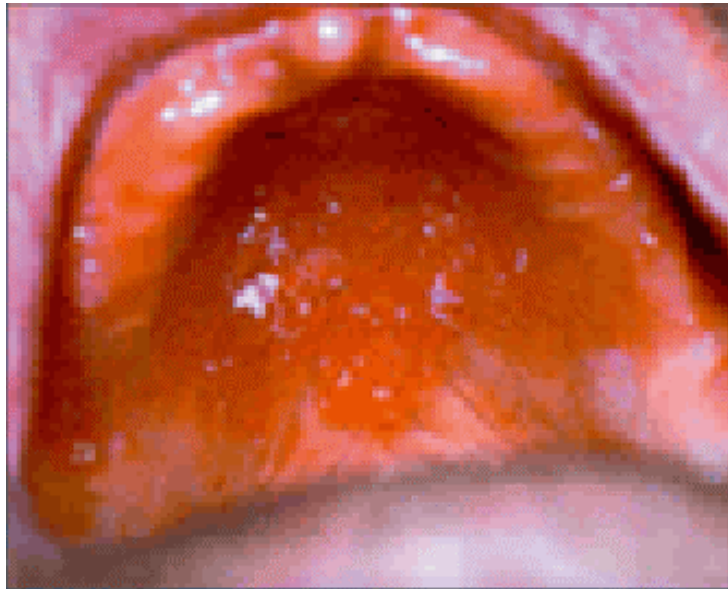
1. Morphologie microscopique des levures du genre *Candida*
 - a. Levures bourgeonnantes
 - b. Levures bourgeonnantes et formes pseudofilamenteuses



2. Candidose buccale : muguet



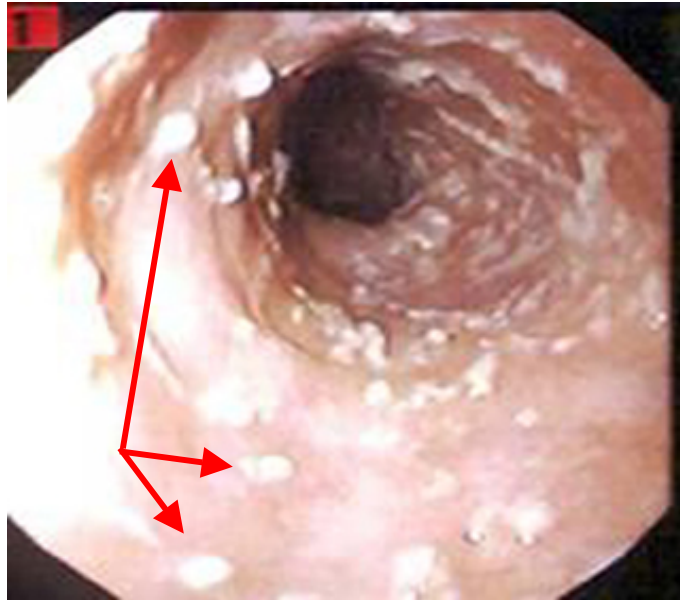
3. Candidose buccale : glossite



4. Candidose buccale : stomatite



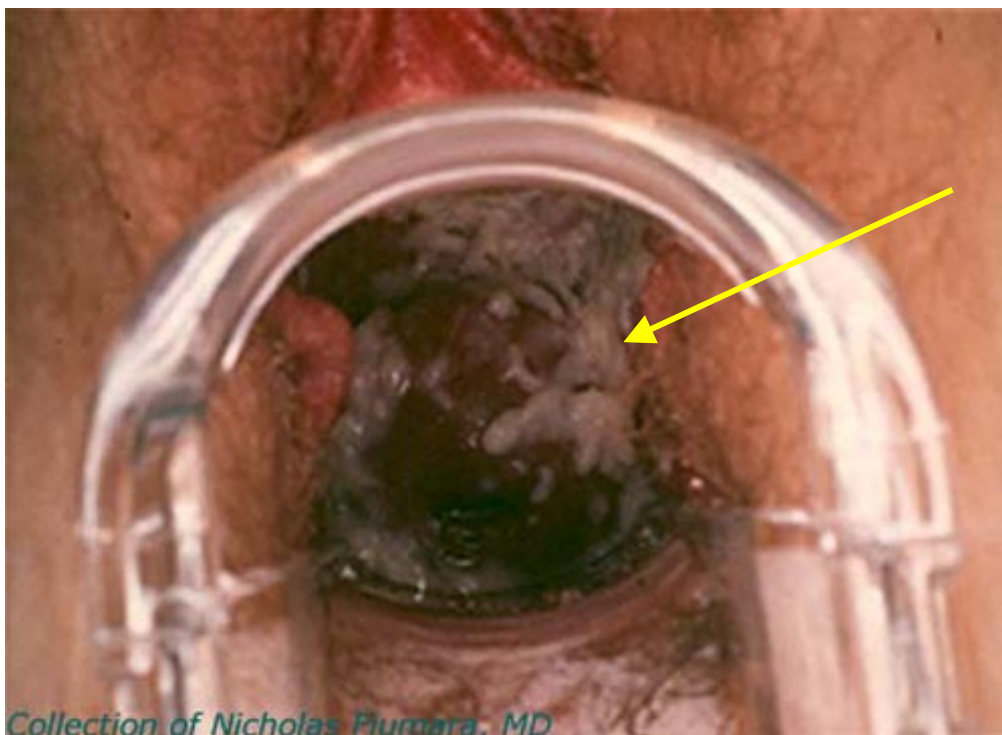
5. Candidose buccale : perlèche



6. Candidose oesophagienne : enduit blanchâtre à la fibroscopie (→)



7. Erythème fessier du nourrisson à point de départ anal



8. Candidose vaginale : examen au speculum montrant un enduit blanchâtre sur les parois du vagin



9. Candidose génitale : balanite



10. Candidose cutanée : intertrigo des grands plis (plis inguinaux et abdominal)



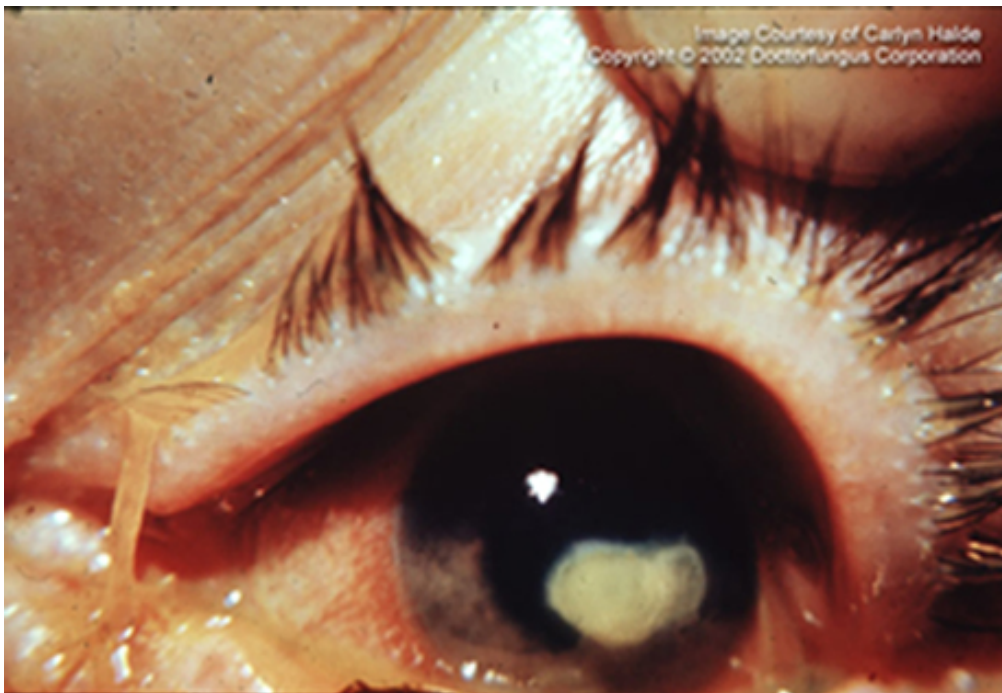
11. Candidose cutanée : intertrigo des grands plis (plis interfessier)



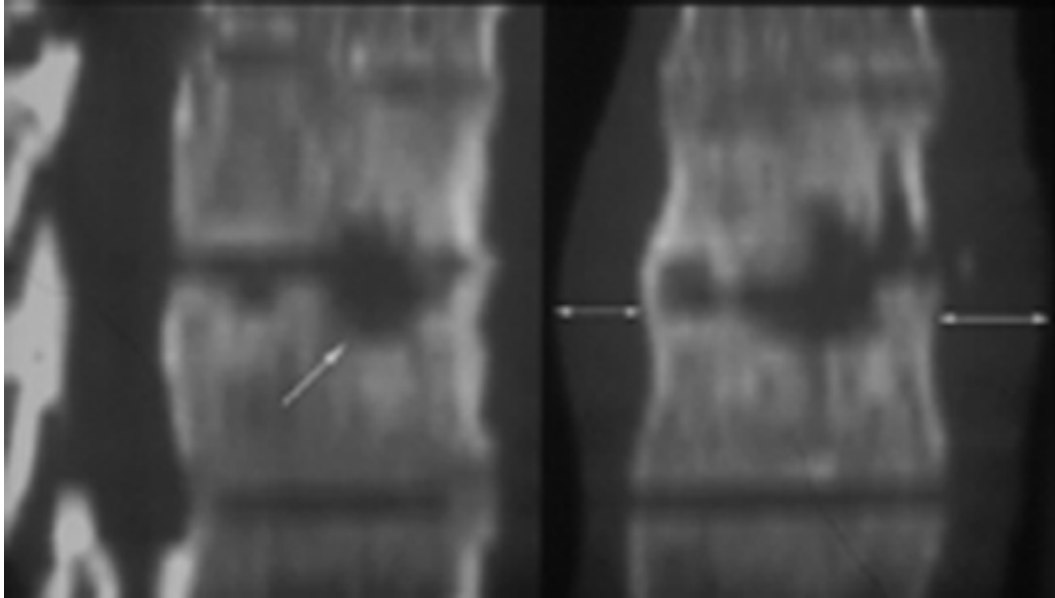
12. Candidose cutanée : intertrigo des petits plis (plis interdigitopalmaires)



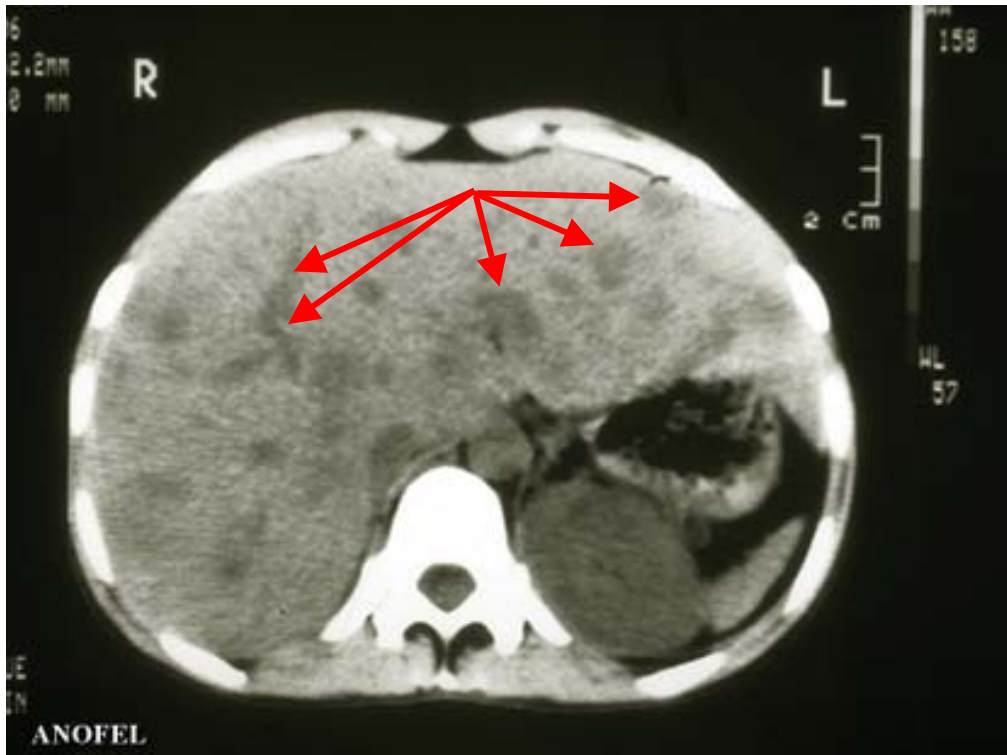
13. Onyxis et périonyxis



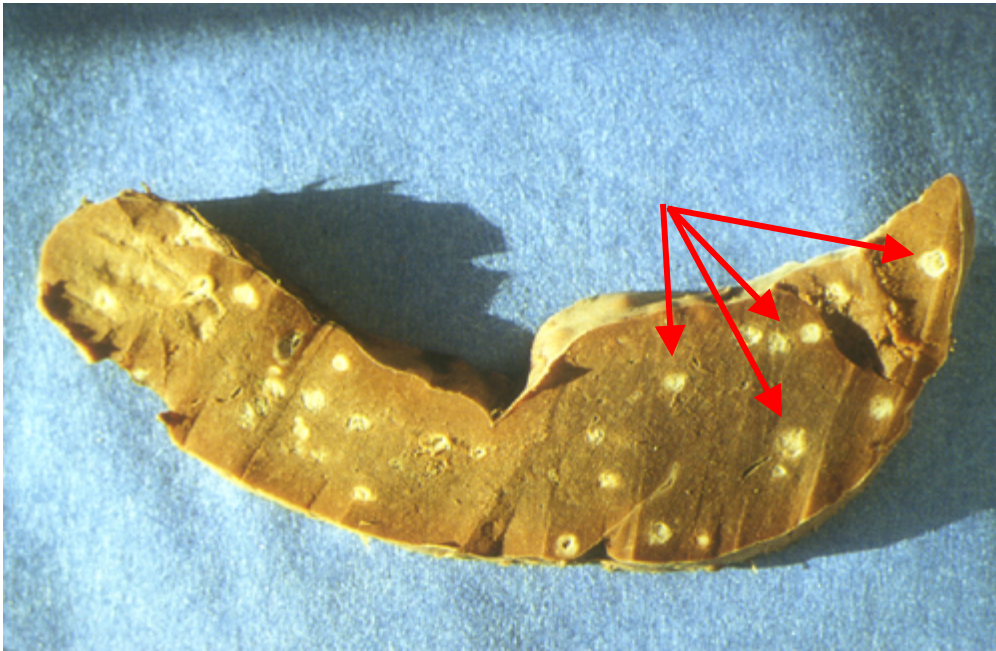
14. Candidose disséminée : endophtalmie



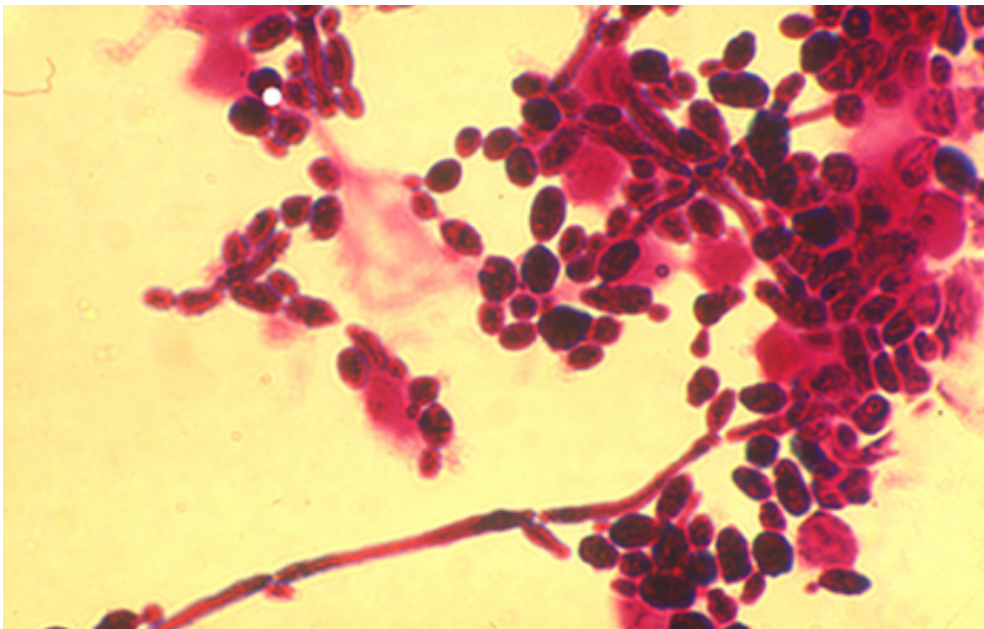
15. Candidose disséminée : spondylodiscite (atteinte des disques intervertébraux) et lyse osseuse de la colonne vertébrale au scanner



16. Candidose disséminée : multiples abcès hépatiques au scanner (→)



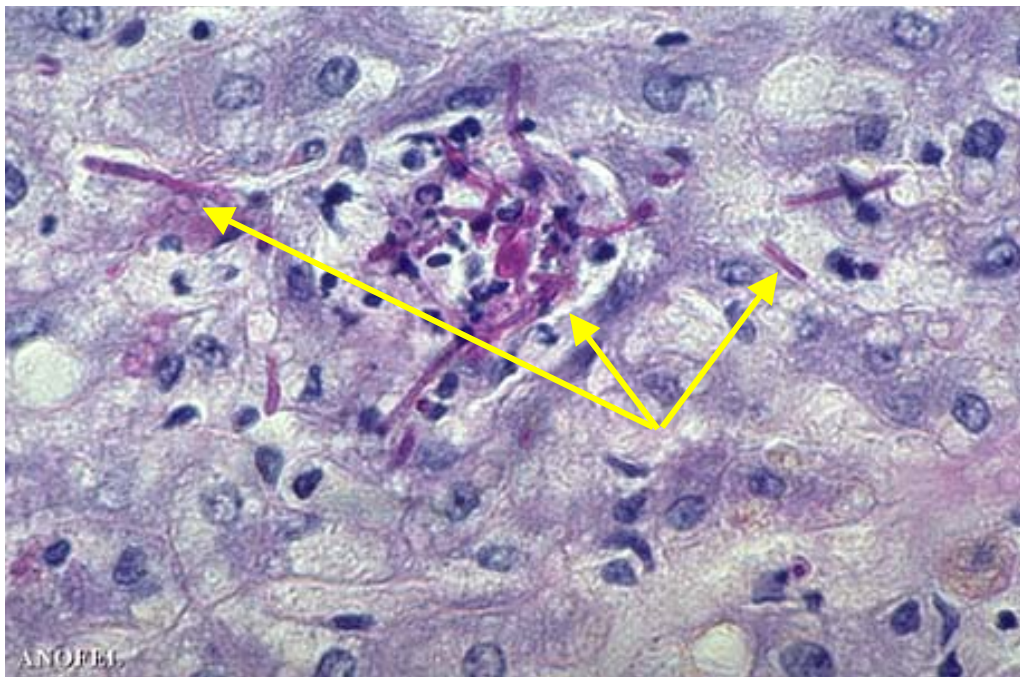
17. Candidose disséminée : coupe transversale de rate montrant de multiples abcès (→)



18. Diagnostic mycologique : examen direct coloré au GRAM montrant de nombreuses levures bourgeonnantes et des formes pseudofilamenteuses



19. Diagnostic mycologique : isolement de colonies de *Candida* sp sur milieu de culture de Sabouraud

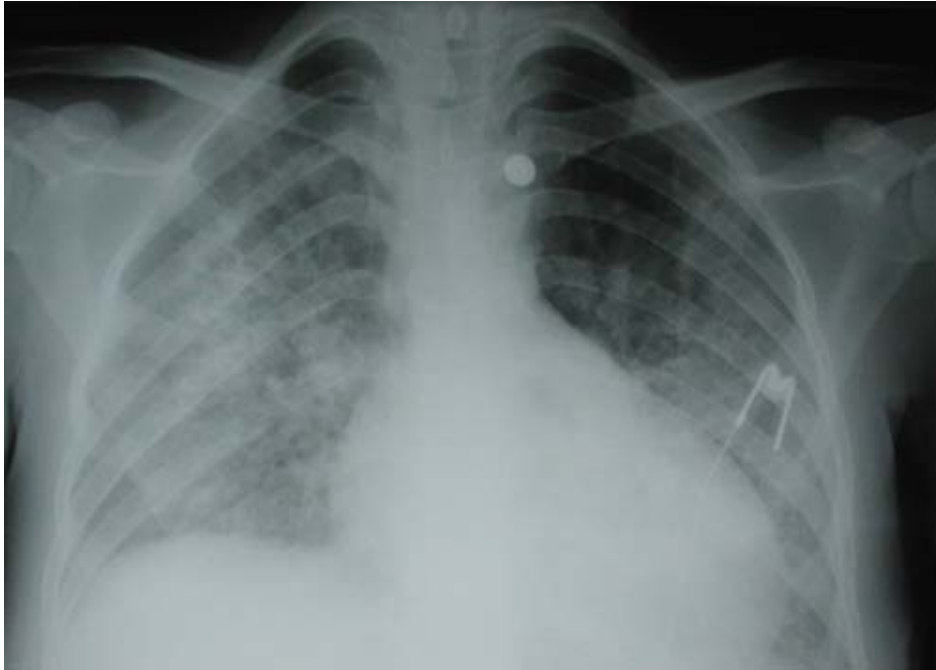


20. Diagnostic histologique : coupe histologique colorée au PAS montrant un amas de levures et de formes pseudofilamenteuses (→)

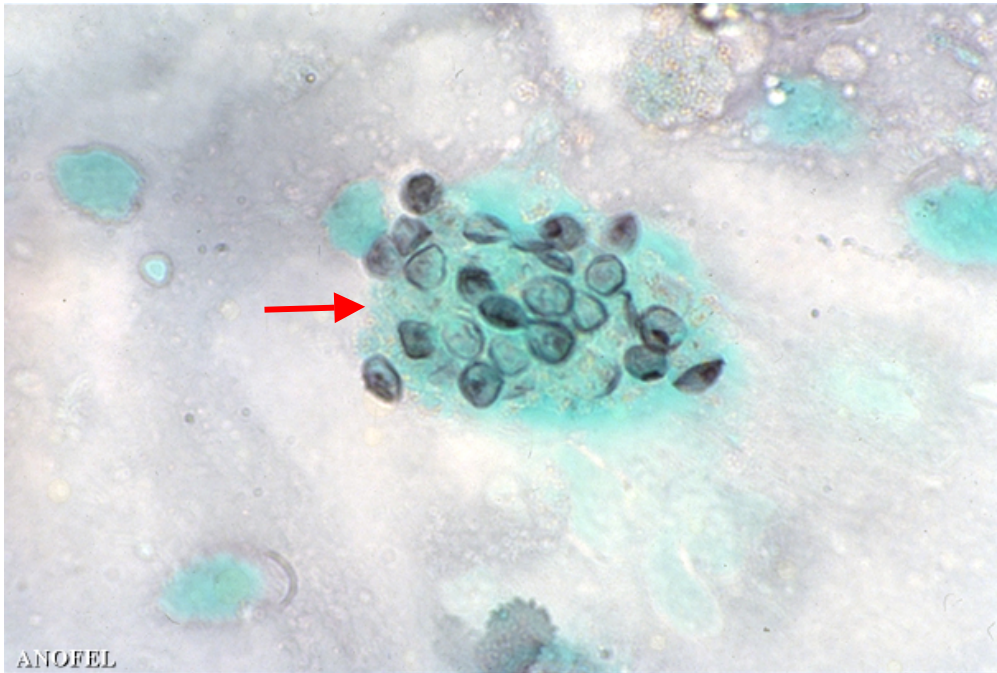
PNEUMOCYSTOSE



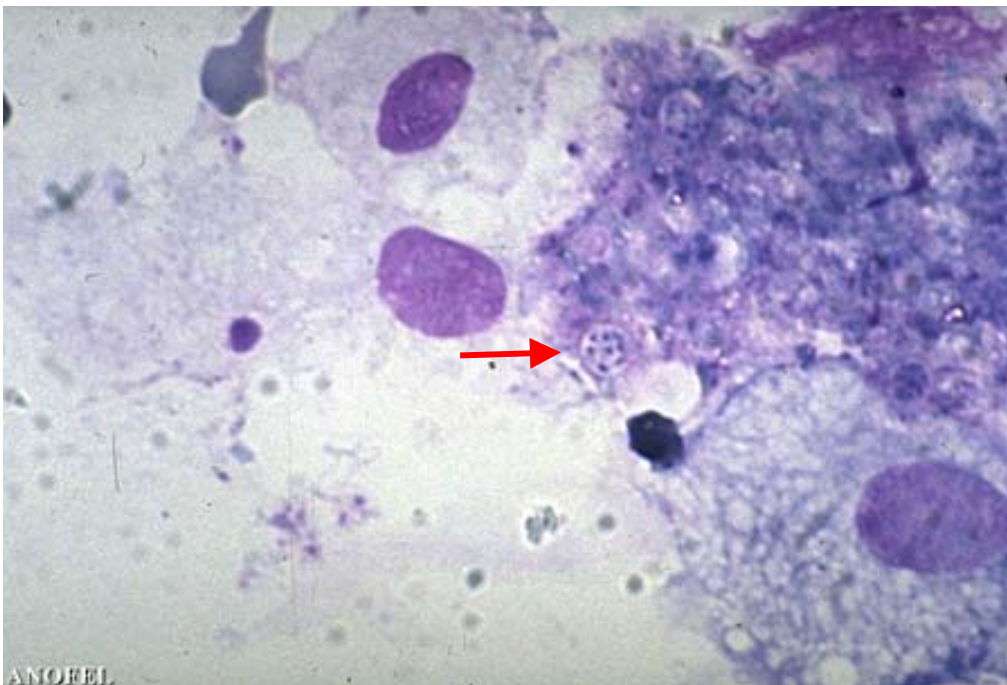
1. Kyste mûr de *Pneumocystis jirovecii* contenant des corps intra-kystiques



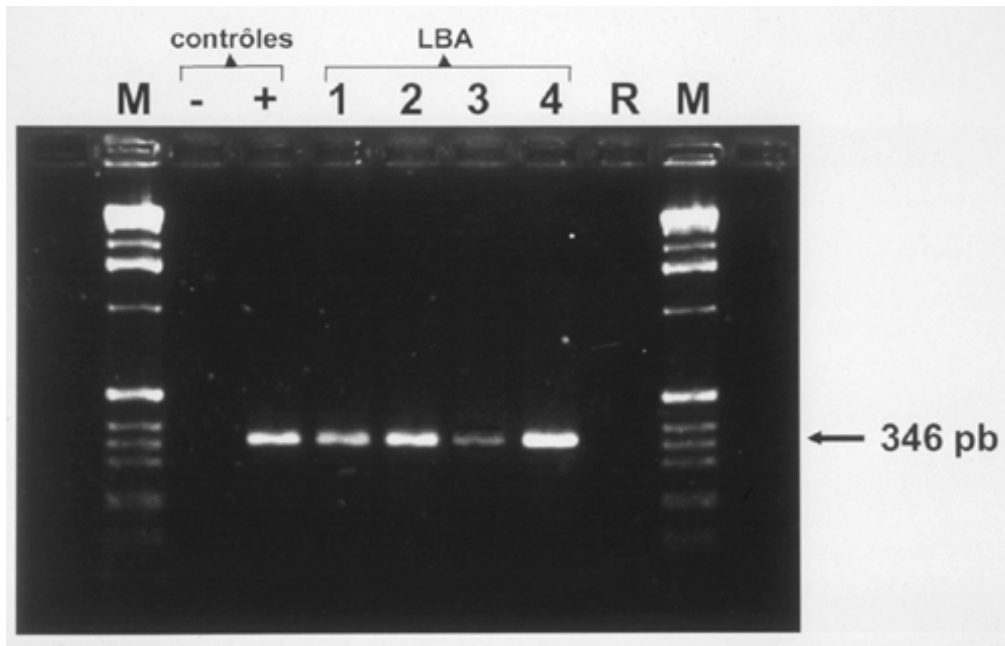
2. Radiographie thoracique montrant une pneumopathie interstitielle bilatérale



3. Kystes de *P. jiroveci* colorés par imprégnation argentique dans un LBA



4. Corps intra-kystiques de *P. jiroveci* colorés au MGG dans un LBA



5. Détection de l'ADN de *P. jirovecii* par PCR dans le LBA (bande de 346 pb)